



# Ressonância Magnética Nuclear - RMN

## Fundamentos

---

Lucas Colucci Ducati

10 de maio de 2020

[ducati@iq.usp.br](mailto:ducati@iq.usp.br) - Sala 321 - Bloco 3

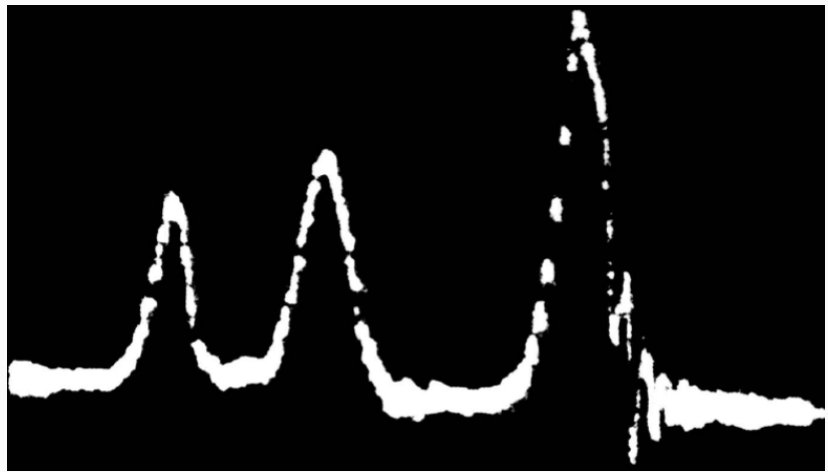
# Sumário

1. Passado e Presente
2. Propriedades Magnéticas de Núcleos Atômicos
3. Núcleos em Campos Magnéticos
4. Níveis de Energia de Estados de Spins Nucleares
5. Fenômeno de Ressonância e Condição de Ressonância
6. População de Estados de Spins
7. Mecanismos de Relaxação
8. Instrumentação

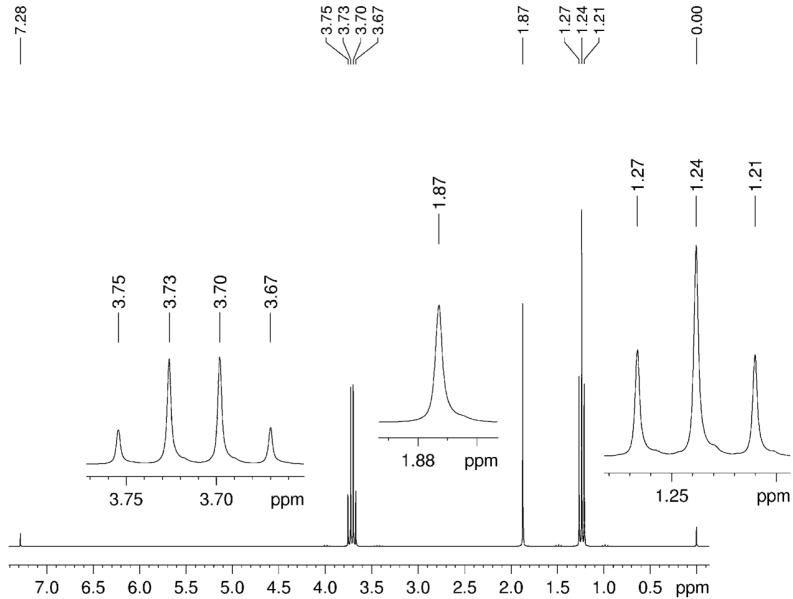
## **Passado e Presente**

---

# Espectro de $^1\text{H}$ do Etanol



# Espectro de $^1\text{H}$ do Etanol

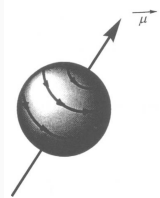


# Propriedades Magnéticas de Núcleos Atômicos

---

# Propriedades Magnéticas de Núcleos Atômicos

- Núcleo:
  - “esférico rotante” (**modelo simplificado**)
  - carga positiva **uniformemente distribuída** na superfície
  - alguns casos a carga gira ao redor do eixo nuclear
    - gera um **dipolo magnético** ao longo do eixo
- Dipolo magnético:
  - momento **magnético**  $\mu$
  - momento **angular** ( $P$ ) associado
  - $\mu = \gamma P$ 
    - $\gamma$  - razão magnetogírica



# Número Quântico de Spin dos Elementos (I)

- Dependem de A e Z do núcleo
  - A e Z pares
    - $I = 0$
    - **inativos**
    - Ex:  $^{12}_6C$
  - A e Z ímpares ou A ímpar e Z par
    - $I$  é múltiplo de  $\frac{1}{2} \longrightarrow I = \frac{1}{2}, \frac{3}{2}, \frac{5}{2}, \frac{7}{2}, \frac{9}{2}$
    - **ativos**
    - Ex:  $^1_1H$ ;  $^{13}_6C$ ;  $^{15}_7N$ ;  $^{17}_8O$  e  $^{19}_9F$
  - A par e Z ímpar
    - $I$  é múltiplo de 1  $\longrightarrow I = 1, 2, 3, 4, 5$
    - **ativos**
    - Ex:  $^2_1H$  ( $^2_1D$ ) e  $^{14}_7N$
- Exemplo:
  - $I = \frac{1}{2}$ : 2 possíveis orientações
    - $-\frac{1}{2}$  ou  $+\frac{1}{2}$
    - $\uparrow$  ou  $\downarrow$

# Núcleos em Campos Magnéticos

---

# Momento Angular ( $P$ ) e Dipolo Magnético ( $\mu$ )

- Lembrando que:
  - $P$  é quantizado na mecânica quântica!
    - $P = \frac{\hbar}{2\pi} m$
  - $m$  sendo o número quântico magnético temos que:
    - $m = (2I + 1)$
    - $m = -I, (-I + 1), (-I + 2), \dots, 0, (I + 1), (I + 2), +I$
    - $\Delta m = 1$
  - Ex:  ${}^1H$  (próton)
    - dois números quânticos (dois alinhamentos no campo magnético  $H_0$ )
    - $m = (2\frac{1}{2} + 1) = 2 \rightarrow m_1 = +\frac{1}{2}$  e  $m_2 = -\frac{1}{2}$
- Logo:
  - $\mu$  também será quantizado!
  - $\mu = \gamma P = \gamma \frac{\hbar}{2\pi} m$

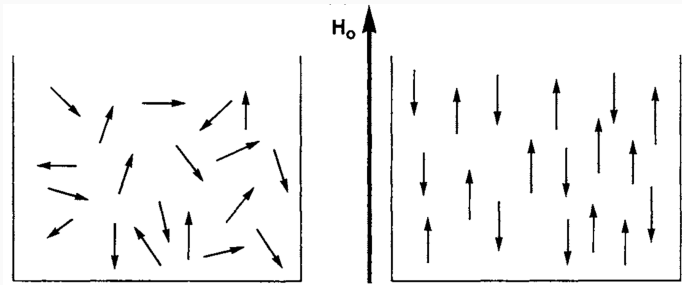
# **Níveis de Energia de Estados de Spins Nucleares**

---

# Energia do Dipolo Magnético ( $\mu$ ) no Campo Magnético ( $H_0$ )

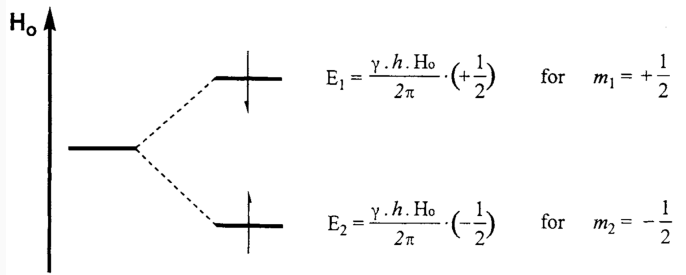
- Sendo  $H_0$  representado por  $\uparrow$
- Energia de  $\mu$  é definida como:
  - $E = \mu H_0$
  - $E = \gamma \frac{h}{2\pi} m H_0$
- Concluímos que:
  - energia é **quantizada**
  - só **depende** de  $m$
- Ex:  ${}^1\text{H}$ :
  - 2 estados de energia!
  - 2 alinhamentos dos spins!
  - **paralelo**  $\uparrow$  e **antiparalelo**  $\downarrow$ !
- Ex:  ${}^2\text{D}$ :
  - 3 estados de energia!
  - 3 alinhamentos dos spins!

# Alinhamento de Spins do tipo $I = \frac{1}{2}$ na Presença de $H_0$



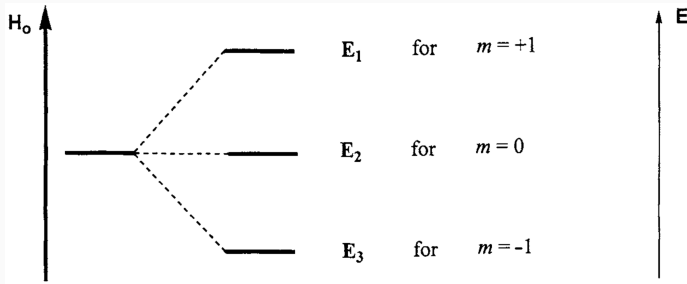
**Figura 1:** Orientação dos momentos magnéticos na ausência e presença de  $H_0$ .

## Níveis de Energia do $\mu$ do ${}^1\text{H}$ ( $I = \frac{1}{2}$ ) em $H_0$



**Figura 2:** Níveis de energia dos spins nucleares do  ${}^1\text{H}$  em um campo magnético homogêneo  $H_0$ .

## Níveis de Energia do $\mu$ do $^2D$ ( $I = 1$ ) em $H_0$



**Figura 3:** Níveis de energia dos spins nucleares do  $^2D$  em um campo magnético homogêneo  $H_0$ .

# **Fenômeno de Ressonância e Condição de Ressonância**

---

# Energia dos Estados de Spin de um Núcleo com $I = \frac{1}{2}$

- A diferença dos níveis de energia é importante!
- Irradiação com a radio frequência correta acarreta em:
  - absorção de energia
  - transição de um estado de spin de baixa para alta energia
  - mudança de população de spins
- Qual é esta frequência?
  - dada pela diferença de energia entre os estados de spins!
- As energias são dadas por:

$$\uparrow H_0 \quad ; \quad E_{\uparrow} = \gamma \frac{h}{2\pi} H_0 \left( -\frac{1}{2} \right) \quad ; \quad E_{\downarrow} = \gamma \frac{h}{2\pi} H_0 \left( +\frac{1}{2} \right)$$

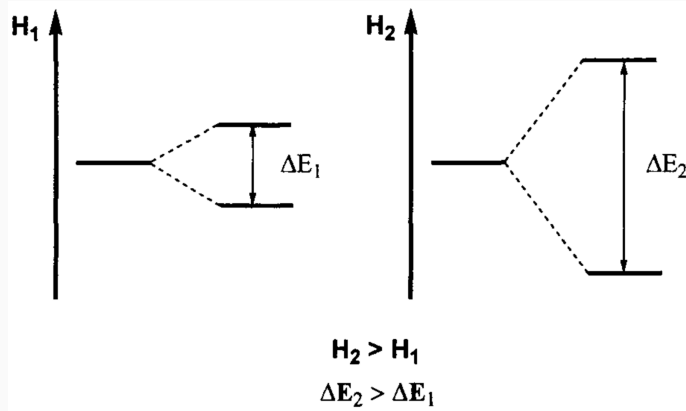
## Relação entre $\Delta E$ e $H_0$

- Diferença de energia é facilmente obtida:

$$\Delta E_{\downarrow-\uparrow} = \gamma \frac{h}{2\pi} H_0 \left( \frac{1}{2} \right) - \gamma \frac{h}{2\pi} H_0 \left( -\frac{1}{2} \right) = \gamma \frac{h}{2\pi} H_0$$

- Separação de energia entre 2 estados:
  - só depende da **força** do  $H_0$
  - aumentará proporcionalmente** ao  $H_0$
- Aumento no  $\Delta E$  será refletida na:
  - diferença de população dos estados de spin.
  - sensibilidade do aparelho
  - $H_0 = 0 \rightarrow \Delta E = 0$ , ou seja, estados degenerados

## Relação entre $\Delta E$ e $H_0$



**Figura 4:** Diferença de energia  $\Delta E$  entre dois estados de spin em função do  $H_0$ .

# Equação Fundamental da RMN e Condição de Ressonância

- Com os dois níveis de energia estabelecidos
  - introduz-se energia na forma de radio freqüência em MHz
    - afeta a transição entre os níveis
- Lembrando que:

$$E = h\nu = \gamma \frac{h}{2\pi} \mathbf{H}_0$$
$$\nu = \frac{\gamma}{2\pi} \mathbf{H}_0$$

- Essa é a **equação fundamental da RMN!**
  - diz qual a condição necessária de ressonância

## Resumindo para ${}^1\text{H}$ ( $I = \frac{1}{2}$ )

---

- núcleos em  $\mathbf{H}_0$  externo e homogêneo
- 2 orientações possíveis
  - paralelo ( $\uparrow$ ) ao  $\mathbf{H}_0$  (menor energia)
  - antiparalelo ( $\downarrow$ ) ao  $\mathbf{H}_0$  (maior energia)
- energia necessária para mudança de estados de spin
  - suprida pela radiação eletromagnética de radio frequência
- sistema irradiado com  $\nu$  apropriado **acarretará** na
  - **excitação** dos núcleos no estado de spin de baixa para alta energia
- núcleos são ditos estar em **ressonância**

## População de Estados de Spins

---

# População dos níveis de energia de núcleo com $I = \frac{1}{2}$

- Sabendo dos **alinhamentos** dos spins e  $\Delta E$ 
  - Quais fatores influenciam na distribuição das populações?
- Para que haja a ressonância há **excesso de população de spins**
  - # de spins em  $\uparrow >$  # de spins em  $\downarrow$
- Se o sistema está em **equilíbrio térmico** (termodinâmica):
  - há dois níveis de energia
  - há diferença de população entre os estados
- **Relação de Boltzmann:**

$$\frac{N_\alpha}{N_\beta} = e^{-\Delta E/kT}$$

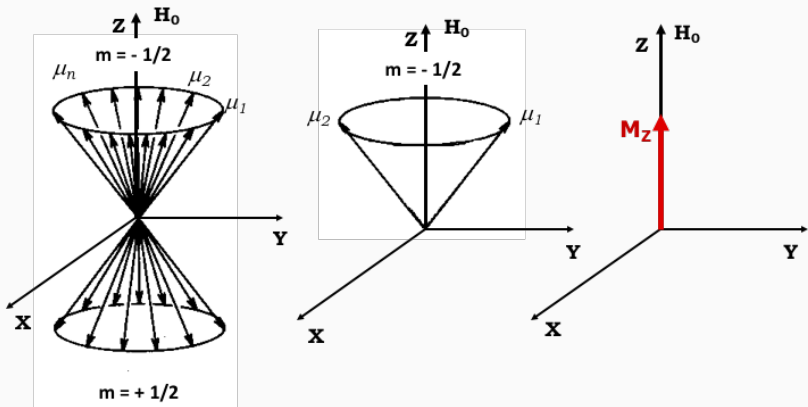
- Substituindo  $\Delta E$  da expressão da equação fundamental da RMN

$$\frac{N_\alpha}{N_\beta} = e^{-\gamma h H_0 / 2\pi k T} \approx 1 - \frac{\gamma h H_0}{2\pi k T}$$

# Excesso de população e diferença de energia

- $\Delta E$  é bem **pequena**!
- Para o  ${}^1\text{H}$  em  $T = 298$  K:
  - $H_0 = 14.100$  G (1,4 T)
  - $\Delta E = 0,024$  kcal mol $^{-1}$
  - $H_0 = 23.500$  G (2,3 T)
  - $\Delta E = 0,040$  kcal mol $^{-1}$
  - $N_\alpha/N_\beta = 0,999984$
  - Com 400.003 núcleos:
    - 200.000 em  $\alpha$
    - 200.003 em  $\beta$
  - excesso de **3 núcleos** que determinam:
    - probabilidade de transição
    - **sensibilidade** do experimento

# Magnetização Resultante na Presença de $H_0$



**Figura 5:** Orientação dos momentos magnéticos e magnetização  $M_Z$  resultante do excesso da população na presença de  $H_0$ .

# Fatores que afetam a população dos níveis de energia

$$\frac{N_\alpha}{N_\beta} = 1 - \frac{\gamma h H_0}{2\pi k T}$$

- Pela equação há **2 variáveis para mudar** as populações
  - $T$
  - $H_0$
- Diminuir  $T$ :
  - **piora** solubilidade
  - aumenta viscosidade do solvente (**sinais largos**)
  - “congela” algum processo dinâmico
- Aumentar o  $H_0$ :
  - **aumenta** gap entre os níveis de energia
  - **aumenta a diferença** entre as populações
  - **maior** intensidade

# População dos níveis de energia em função do campo

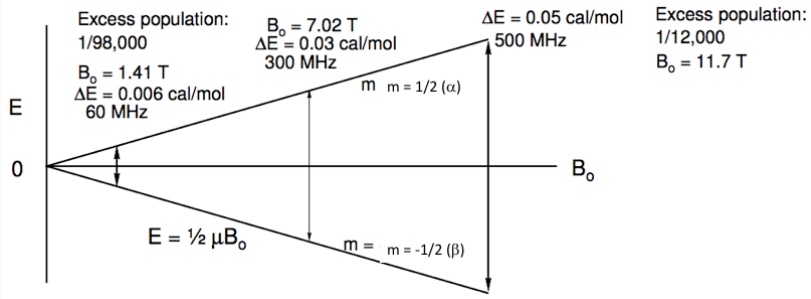


Figura 6: População em função de  $H_0$ .

## Mecanismos de Relaxação

---

# Relaxação

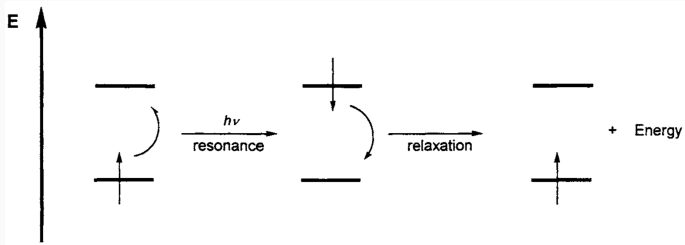


Figura 7: Processo de relaxação.

# Relaxação e

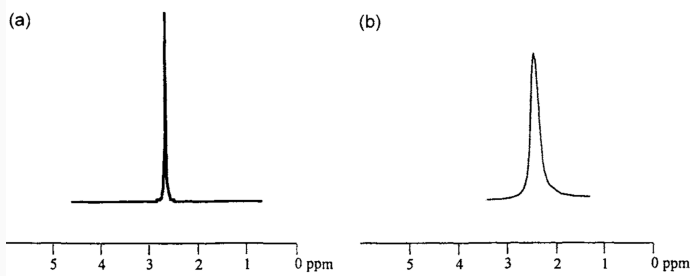
- Após a excitação dos núcleos
  - há a perda de energia
  - as populações voltarão ao equilíbrio térmico
- Há vários processos de perda de energia
  - chamado de relaxação
  - importante processo
- Relaxação
  - determina a qualidade de um espectro
  - tempo de aquisição
  - largura dos sinais
  - facilidade em observar o núcleo de interesse
- Mecanismos de relaxação
  - spin-rede  $T_1$  (relaxação longitudinal)
    - rede = agregados de átomos ou molécula em solução
  - spin-spin  $T_2$  (relaxação transversal)

# Mecanismos de Relaxação

---

- Spin-rede  $T_1$ 
  - transferência de energia dos núcleos excitados para a rede da vizinhança
  - movimentos de rotação de translação de espécies da rede com  $\mu \neq 0$ 
    - movimentos associados com a flutuação do campos magnéticos
  - se a  $\nu_{rede} = \nu$ 
    - transferência de energia para energia cinética e térmica da rede
  - varia com o tipo de núcleo e ambiente
  - em líquidos  $T_1 = 10^{-2} - 10^2$  s
  - compostos orgânicos  $T_1 < 1s$
- Spin-spin  $T_2$ 
  - transferência de energia entre núcleos em precessão
  - determina a largura natural dos sinais no espectro
    - impurezas magnéticas nas amostras (espécies paramagnéticas)

## Relaxação e a qualidade do sinal no espectro



**Figura 8:** Formato dos sinais: **(a)** relaxação  $T_2$  longa; **(b)** relaxação  $T_2$  curta.

# Relaxação e a qualidade do sinal no espectro

- Relaxação:
  - curta
    - picos **largos** e pouco intensos
  - longa
    - picos **intensos** e finos
- Relação entre tempo e largura de sinal
  - princípio da incerteza de **Heisenberg** (produto das incertezas)
    - $\Delta E \Delta t$  é maior ou igual a uma constante. Fiquemos só com igual.
    - lembrando:  $\Delta E = h\Delta\nu$

$$\Delta E \Delta t = \frac{h}{2\pi}$$

$$h\Delta\nu \Delta t = \frac{h}{2\pi}$$

$$\Delta\nu = \frac{1}{\Delta t 2\pi}$$

## Instrumentação

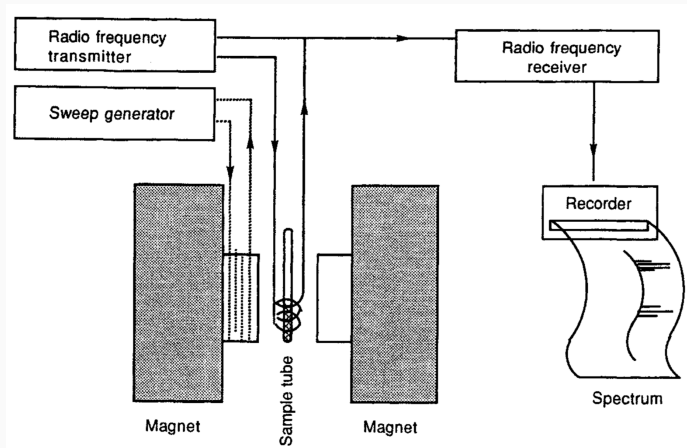
---

# Tipos de espectrômetros

---

- Há dois tipos de espectrômetros
  - Onda contínua (**CW**)
  - Transformada de Fourier (**FT**)
- Requisitos básicos para aparelho de alta resolução
  - magneto para gerar um  $H_0$  homogêneo e estático
  - gerador de rádio-frequência
  - receptor de rádio-frequência
  - detector
- Espectromômetro **CW** (*sweep*)
  - composto irradiado com rádio-frequência constante
  - variação do  $H_0$
  - um a um os  $^1\text{H}$  são levados à ressonância
  - 5 min para obtenção de um espectro

# Espectrômetro de onda contínua

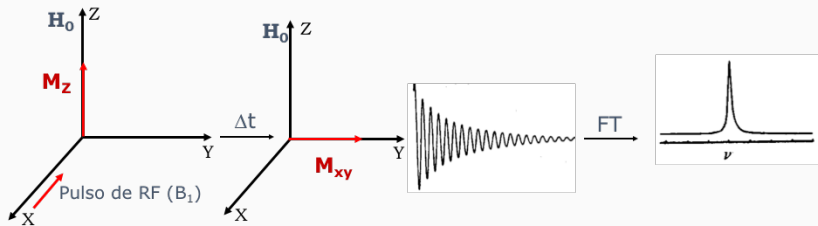


**Figura 9:** Diagrama esquemático de um espectrômetro de RMN de onda contínua.

- Espectrometro FT

- amostra colocada em um campo  $H_0$  homogêneo e constante
- supercondutores para gerar altos  $H_0$ 
  - *shim* para ajustar a homogeneidade
- razão entre  $H_0$  e transmissor de radio-frequência deve ser constante
  - *locking* do aparelho com um forte e fino sinal que compensa a variação do  $H_0$  com o tempo (*drift*)
  - usado o sinal do  $^2\text{D}$
- amostra irradiada com pulso de curta duração e de alta potência
  - excitação de todos os  $^1\text{H}$  de uma só vez
  - $\Delta\nu = \frac{1}{\Delta t 2\pi}$  (Heisenberg!)
- 2 – 3 s para obter um espectro
- aumento da sensibilidade pela obtenção de milhares de espectros
- obtenção de FID (*Free Induction Decay*)
  - $FID(t) = \text{sen}(\omega_0 t) e^{-t/T_2}$
- aplicação da FT para obter o espectro

# Aquisição de sinal em um espectrômetro de FT



**Figura 10:** Diagrama esquemático da aquisição de sinal em espectrômetro de RMN de FT.

# Espectrômetro de transformada de Fourier

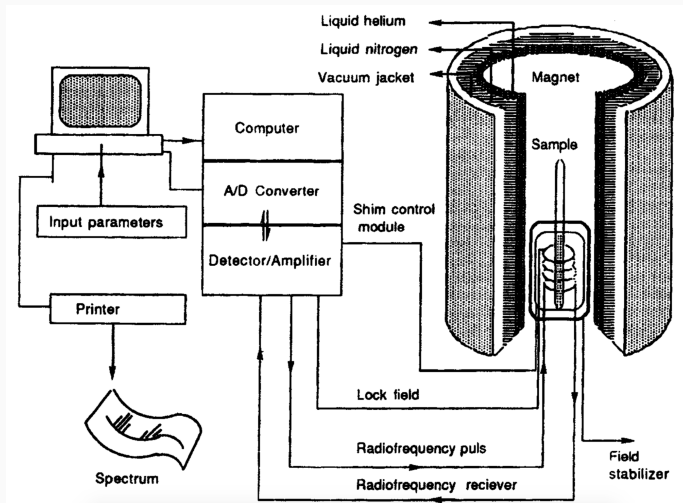


Figura 11: Diagrama esquemático de um espectrômetro de RMN de FT.